

# بررسی رخسارهای رسوبی و مشخصه‌های هیدروشیمیایی نهشته‌های کربناته آب اسک، جنوب شرق آتشفشان دماوند

سمیه رحمانی جوانمرد<sup>۱\*</sup>، محسن رنجبران<sup>۲</sup> و وهاب امیری<sup>۳</sup>

۱. استاد مدعو، گروه جغرافیا، مؤسسه آموزش عالی الشتر، لرستان، ایران

۲. دانشیار، گروه زمین‌شناسی، دانشکده علوم، دانشگاه تهران، تهران، ایران

۳. استادیار، گروه زمین‌شناسی، دانشکده علوم، دانشگاه یزد، یزد، ایران

تاریخ دریافت: ۱۴۰۰/۰۹/۲۹

تاریخ پذیرش: ۱۴۰۰/۱۲/۲۴

## چکیده

چشممهای آهکساز آب اسک در فاصله ۸۵ کیلومتری شمال شرقی تهران در دامنه شرقی آتشفشان دماوند واقع شده‌اند. نهشته‌های این چشممه‌ها، بیشتر به صورت تراوتن دیده می‌شوند. بررسی‌های میکروسکوپی حاکی از وجود چهار رخساره غیرزیستی و تعداد دو رخساره زیستی در تراوتن‌های آب اسک است. بر اساس توالی رسوب‌گذاری و رخساره‌های سنگی و همچنین با دور شدن از چشممه‌ها سه نوع مختلف تراوتن در منطقه شناسایی شد (تراوتن‌های نوع اول با مورفولوژی دهانه‌ای و کانالی، تراوتن‌های نوع دوم با مورفولوژی حوضجه‌ای، سدی و آبشاری و تراوتن‌های نوع سوم با لامینه‌ای). بر روی نمودار  $\delta^{13}\text{C}$  در مقابل  $\delta^{18}\text{O}$  (VPDB)، این تراوتن‌ها در دوره‌های نکویید و قشرهای بلورین از نظر سنگرخساره قرار می‌گیرند. براساس رخساره‌های شناسایی شده، این چشممه‌ها گرمابی هستند و در رده چشممه‌های ترمومیتری قرار می‌گیرند. مقادیر مثبت ضربی اشباع شدگی لائزله (LSI) برای چشممه‌های پشتک، نادعلی و زاغ‌بیانگر فوق اشباع بودن این نمونه‌های نسبت به کربنات کلسیم است و همین موضوع موجب رسوب‌گذاری قابل توجه در اطراف چشممه‌های مورد نظر شده است. در مقابل، مقدار LSI منفی در چشممه سرپل به تحت اشباع بودن آب نسبت به کربنات کلسیم اشاره دارد. بنابراین به نظر می‌رسد نقش این چشممه در رسوب‌گذاری تشکیلات تراوتنی در این منطقه کمتر از سایر چشممه‌ها است. همچنین موقعیت نمونه‌ها بر روی نمودار بهینه شده گیبس و نمودار ویردام نشان می‌دهد، برهمکنش آب با سنگ‌های کربناته و تاحدودی سیلیکاته به عنوان مهم‌ترین منبع تأمین عناصر کلسیم و سدیم در این منطقه شناخته می‌شوند.

**واژه‌های کلیدی:** آب اسک، ایزوتوپ‌های پایدار کربن و اکسیژن، تراوتن‌های گرم‌زاد، رخساره رسوبی، هیدروشیمی.

## مقدمه

بیش از ده چشممه سرد و دمادار مورد توجه ویژه گردشگران و همچنین پژوهشگران می‌باشد. نهشته‌های این چشممه‌های آهکساز، بیشتر تراوتن می‌باشد. اصطلاح تراوتن پیش‌تر توسط کوهن (Cohn, 1864) به کاررفته است و دروسیع‌ترین معنای آن به همه رسوبات کربناته غیردریابی تشکیل شده

مجموعه چشممه‌های معدنی آب اسک (واقع در ۸۵ کیلومتری شمال شرق تهران) در ترازهای پایین ارتفاعی جاده هراز رخنمون دارد. این منطقه از نواحی شناخته شده در دامنه جنوب شرقی آتشفشان دماوند است و بواسطه ظهور

\* نویسنده مرتبط: rahmani.somaye@gmail.com

آب، دما، pH، سرعت و غیره اشاره دارد. به دلیل تغییر مکان چشممه‌ها که ناشی از تغییر سرعت جریان آب چشممه‌ها و بازو بسته بودن دهانه چشممه‌هاست رخساره‌ها به طور نسبی جانشین هم شده و به طور مداوم بازسازی می‌شوند (Fouke et al., 2003; Fouke et al., 2001; Fouke et al., 2000). از سوی دیگر براساس مورفولوژی و کانی‌شناسی، در تراورتن‌ها پنج رخساره رسوبی (دهانه‌ا، کانالی‌ا، حوضچه‌ای‌، دامنه نزدیک به منشأ و دامنه دور از منشأ) شناسایی شده است (Inskeep and McDermott, 2005; Inskeep and McDermott, 2005; Chafetz and Folk, 1984; Fouke et al., 2000; Chafetz and Folk, 1984; Pentecost and Viles, 1994) (شکل ۱). پنتکاست و واپلر (Pentecost, 1995 a, b) تراورتن‌ها را و پنتکاست (Pentecost, 1995 a, b) تراورتن‌ها را براساس شکل و محیط رسوبی به هفت گروه رده‌بندی کردند (شکل ۲): (الف) پشت‌های شکافی، (ب) آبشاری، (پ) سدی، (ت) قشرهای رودخانه‌ای، (ث) قشرهای دریاچه‌ای با انکوبید، (ج) مردابی و (چ) رودایت‌های سطحی سیمانی شده. اوذکول و همکاران (Özkul et al., 2002) با استفاده از مقادیر ایزوتوپ‌های پایدار کربن و اکسیژن تراورتن‌ها را براساس سنگ‌رخساره به نه گروه زیر، رده‌بندی کردند: (۱) قشرهای بلورین، (۲) بوته‌ای، (۳) انکوبیدی یا پیزولیتی، (۴) تیغه‌ای، (۵) پوشیده شده از حباب‌گاز، (۶) نی‌مانند، (۷) سنگ آواری، (۸) قلوه‌ای و (۹) خاک‌های دیرینه<sup>۷</sup>. خصوصیات فیزیکی و شیمیابی چشممه‌های آب گرم بستگی به ترکیب محلول نفوذ کننده، عمق مهاجرت، زمان اقامت آبهای گرم در مسیر مهاجرت و واکنش‌های آب/سنگ در عمق سازندها (اختلاط با رسوبات هوا نزد) دارد (Kele et al., 2008). این ویژگی‌ها ترکیب رسوبات کربناته مانند تراورتن را که از این آبهای تشكیل می‌شود تحت تأثیر قرار می‌دهد.

انصاری (Ansari, 2013)، رحمانی جوانمرد (۱۳۹۰)،

دریا نزدیک چشممه‌های زمینی، رودخانه‌ها، دریاچه‌ها و غارها اشاره دارد (Sanders and Friedman, 1967). طبق تعریف پنتکاست (Pentecost, 2005b) تراورتن یک سنگ آهک قاره‌ای رسوب کرده در اطراف چشممه‌هاست و از کلسیت یا آرگونیت با تخلخل بین بلورین پایین تا متوسط، تخلخل قالبی یا داریستی بالا تشکیل شده است. تراورتن در محیط واذو یا اساساً فراتیک تشکیل می‌شود و رسوب‌گذاری آنها از طریق انتقال دی‌اکسید کربن از متابع زیرزمینی که منجر به فوق اشباع شدن کربنات کلسیم می‌شود؛ صورت می‌گیرد. در مورد رده‌بندی تراورتن‌ها، طبقه‌بندی جامعی بر مبنای خصوصیات سنگ‌شناسی و ارتباط ژنتیکی این ویژگی‌ها با محیط رسوبی ارائه نشده و تاکنون بیشتر طبقه‌بندی‌ها بر مبنای ویژگی‌های زمین‌شیمیابی و کانی‌شناسی بوده است (Jones and Renaut, 2010; Guo and Riding, 1998; Folk et al., 1985; Chafetz and Folk, 1984; Cipriani et al., 1972; Gonfiantini et al., 1968). بیشتر تحقیقات انجام شده در سطح جهانی حاکی از ارتباط محیط تشکیل تراورتن‌ها به سیستم گرمابی و در سه سیستم رسوبی (تراورتن‌های گرم‌مازاد) و متشکل از هشت نوع رسوب کربناته است (جدول ۱). تراورتن‌ها متشکل از رسوبات متنوعی می‌باشند و ناشی از دو فرایند اصلی هستند (Gandin and Capezzuoli, 2008): (۱) رسوبات کربناته‌ای که از آبهای جاری جاری منشأ می‌گیرد و در طی رسوب‌گذاری که هم در شرایط اپی‌زن (سیستم‌های گرمابی زیرجوی) و هم در شرایط هیپو‌زن (کانال‌های زمین‌گرمابی عمیق) می‌تواند رخ می‌دهد، به صورت پوسته‌های سخت دچار سنگ‌شدگی می‌شوند (رخساره‌های کربناته زیستی و غیرزیستی)؛ (۲) رسوباتی که مانند کربناته‌ای دریابی در محیط‌های زیرآبی نظیر دریاچه‌ها، باتلاق‌ها، رودخانه‌ها و حوضچه‌های موقتی تهشین شده و به ترتیب از طریق فرایندهای مانند تعليق یا حمل و نقل به شکل دانه‌های سست و مجراء، رسوب‌گذاری و درنهایت دفن شدن به سنگ تبدیل می‌شوند. رخساره‌های تراورتنی به تهشینی تراورتن‌ها در طیفی از شرایط محیطی مانند درجه حرارت، عمق نسبی

1. Thermogene travertines  
2. Vent  
3. Channel  
4. Pound  
5. Proximal slope  
6. Distal slope  
7. Palaeosols

با شیمی آب، تجزیه و تحلیل نمونه های آب چشمه های تراورتن ساز نیز انجام خواهد شد.

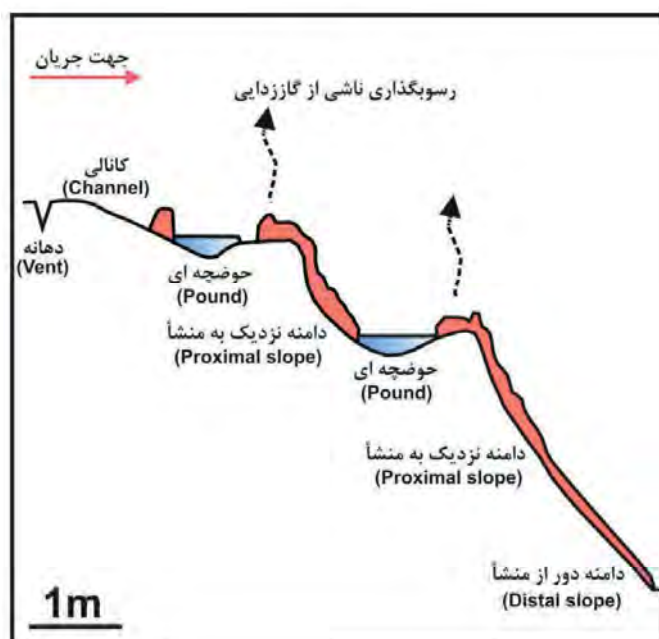
### روش مطالعه

برای انجام این پژوهش از داده های نمونه های آبی منتشر شده توسط انصاری (Ansari, 2013) استفاده شد. همچنین در طی پژوهش حاضر، پارامترهای فیزیکو شیمیایی مانند درجه حرارت، EC و pH بعضی از چشمه های اسک اندازه گیری شد (جدول ۴). به منظور تعیین رخساره های رسوبی، از تراورتن ها در امتداد مسیر جریان چشمه های آب نمونه برداری (۵۰ نمونه) انجام گرفت و تصاویر لازم از ویژگی های صحرایی و مکروسکوپی منطقه تهیه شد. در راستای بررسی دقیق تر ویژگی های بافتی و رخساره ای، تعدادی مقطع نازک از نمونه ها تهیه و با میکروسکوپ

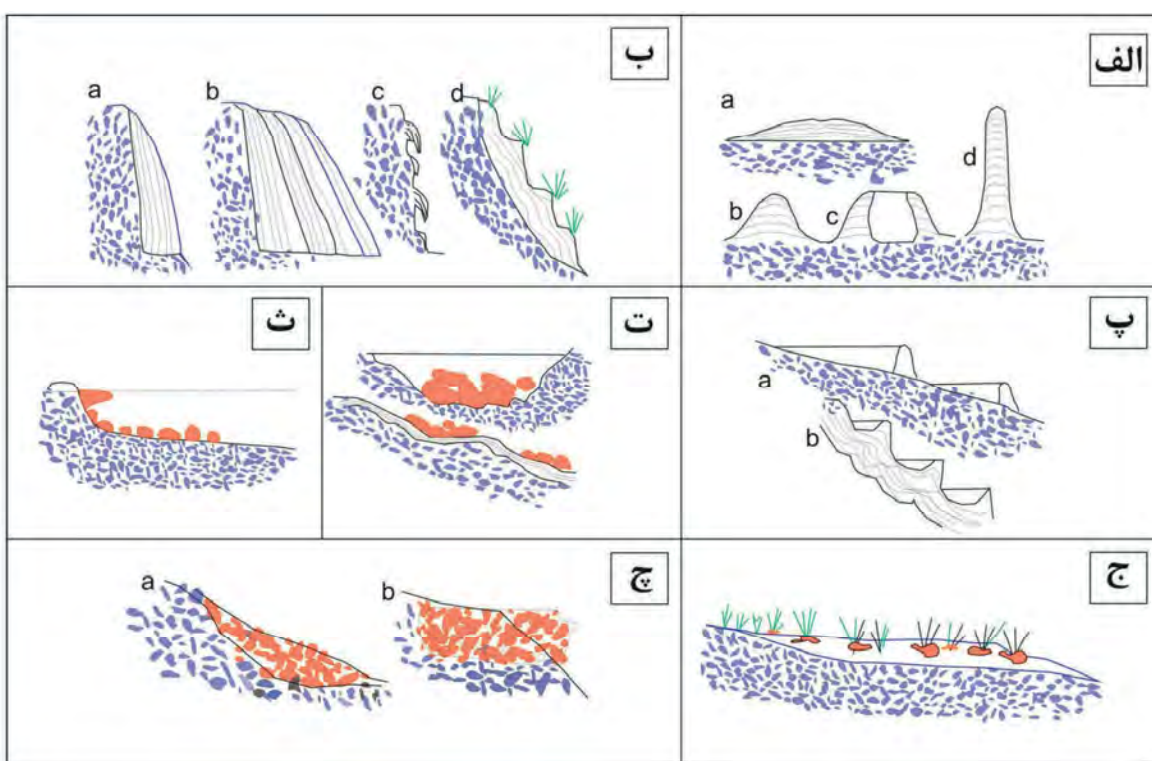
Rahmani Javanmard et al., 2012) و رنجبران و همکاران (Ranjbaran et al., 2019) به ترتیب با بررسی فاکتورهای فیزیکو شیمیایی آب چشمه ها، مطالعات زمین شیمیایی و ایزوتوپی نهشته های کربناته ناشی از فعالیت چشمه ها و همچنین نتایج حاصل از مطالعات دورسنجی به بررسی عوامل مؤثر در ظهور چشمه های این ناحیه پرداختند. اما تاکنون مطالعات جامعی برای رده بندی و بررسی رخساره های رسوبی تراورتن های آب اسک و سازوکار تشکیل آنها انجام نشده است. از این رو، در بررسی های پیش بینی شده در طی این پژوهش، با استفاده از نتایج حاصل از مطالعات میکروسکوپی و از دید ایزوتوپ های پایدار کربن و اکسیژن به توصیف و بررسی رخساره های رسوبی تراورتن های مورد مطالعه پرداخته می شود. علاوه بر این، در راستای درک بهتر ارتباط رخساره های تراورتنی

جدول ۱. رده بندی بافتی کربنات های گرمابی (سنگ آهک های تراورتنی) (Gandin and Capezzuoli, 2014)

قشرهای زیستی	قشرهای بلورین غیرزیستی
بایندستون	بلورهای پرمانند
میکرایت لخته ای (تروموبلیت)	بلورهای شعاعی - بادبزنی
استروماتولیت	سنگهای اسفنجی
بوته های دندربیتی	
طبقه های میکروبی	



شکل ۱. مقطع عرضی از رخساره های تراورتنی و جهت جریان آب چشمه (Fouke et al., 2000)



شکل ۲. ردیبندی تراورتن‌ها براساس شکل و محیط رسوبی (Pentecost and Viles, 1994; Pentecost, 1995a, b)

### زمین‌شناسی منطقه

منطقه آب اسک بین طول جغرافیایی  $52^{\circ}0' - 52^{\circ}10'$  شرقی و عرض جغرافیایی  $35^{\circ}52' - 35^{\circ}51'$  شمالی واقع شده است (شکل ۳). از نظر زمین‌شناسی این منطقه در حد فاصل بین سازندهای دوران پالثوزوییک، مژوزوییک تا نهشته‌های آذرآواری و توده‌های آذرین قرار دارد (شکل ۳). سازندهای پالثوزوییک موجود در منطقه، متشکل از سنگ آهک میلا و سنگ آهک دورود هستند. از جمله سازندهای مژوزوییک موجود در منطقه می‌توان به سنگ آهک الیکا، ماسه‌سنگها و شیل‌های سازند شمشک و سنگ آهک سازند لار اشاره کرد. این منطقه بخشی از پهنه ساختاری البرز مرکزی است و دو روند ساختاری شرق-شمال شرق (البرز شرقی) و غرب-شمال غرب (البرز غربی) در منطقه کوه آتشفشاری دماوند به هم می‌رسند. گسل‌های فعل و توانمند فشارشی (مانند گسل مشا) و چین خوردگی‌های عظیم کم و بیش شرقی-غربی در پهنه ۶۰۰ کیلومتری البرز.

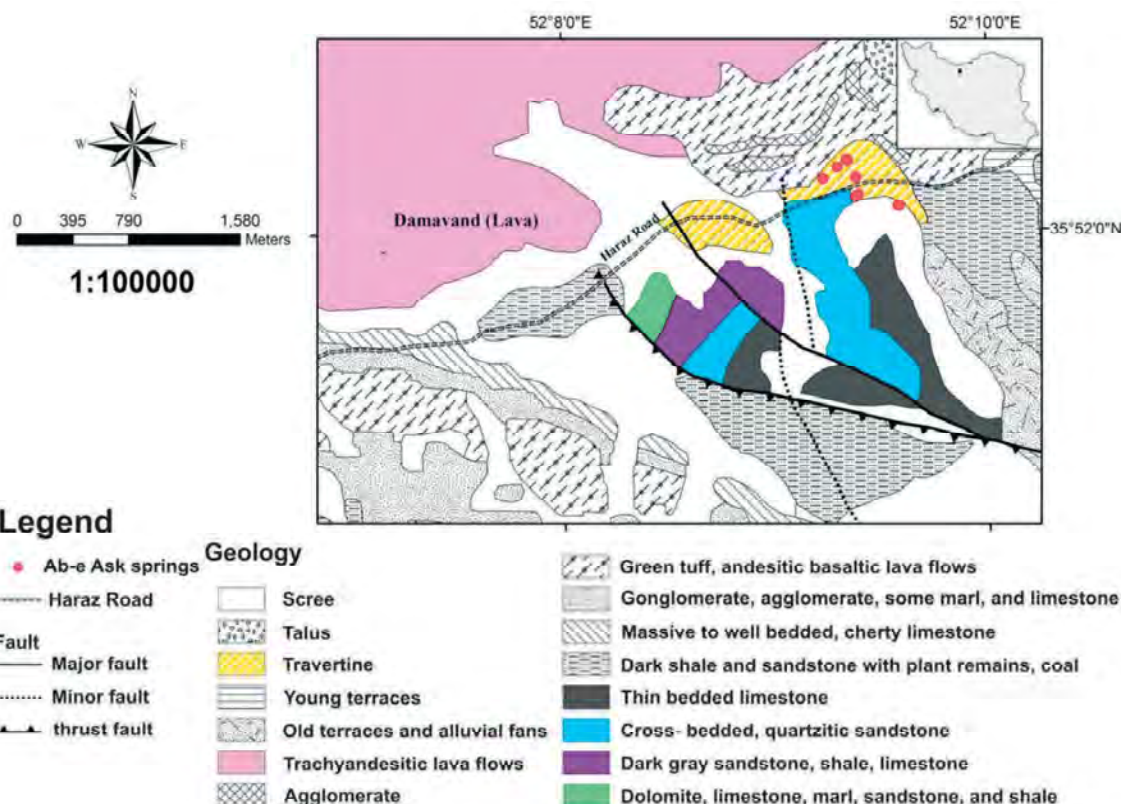
پلاریزان مورد مطالعه قرار گرفتند. سپس به‌منظور مطالعه دقیق‌تر با میکروسکوپ الکترونی رو بشی<sup>1</sup> مورد بررسی واقع شدند. با توجه به اینکه این تراورتن‌ها از زمانی که شروع به رسوب‌گذاری کرده‌اند به‌طور مستقیم در معرض آبهای جوی<sup>2</sup> قرار دارند بنابراین پتانسیل لازم برای تحمل فرایندهای دیاژنزی را پیدا کرده‌اند. بر اساس مطالعات پتروگرافی، دیاژنز در این تراورتن‌ها به‌وسیله وجود کلسیت ثانویه یا کلسیت تبلور یافته، قابل شناسایی است. به همین منظور با استفاده از دستگاه Craftsman Rotary EX 22 M 22000 RPM آنالیزهای ایزوتوپی  $^{13}\text{C}$  و  $^{18}\text{O}$  بر روی تراورتن‌های مورد مطالعه انجام گرفت. مقدار ایزوتوپ‌ها با استفاده از دستگاه طیفسنج جرمی Thermo Fisher DELTA-V با دقت ۰/۲ پرمیل و برحسب استاندارد بی‌دی بلمنیت (PDB) در آزمایشگاه ایزوتوپ پایدار ETH (зорیخ، سوئیس) انجام شد. انجام آنالیز SEM در دانشکده برق دانشگاه تهران محقق شد.

1. Scanning electron microscope

2. Meteoric water

امیدیان (۱۳۸۶) معتقدند که تغییر جهت رژیم تنشی در این زمان، عامل تکتونیکی برای ایجاد درز و شکاف‌های عمیق در ناحیه شکننده خمشی البرز مرکزی می‌باشد و موجب فوران دماوند در یک محیط تراکشی شده است. به نظر می‌رسد که فعالیت سیستم‌های جدید تکتونیکی حاکم بر البرز مرکزی، ظهور چشمه‌های متعدد اطراف آتشفشنان دماوند و نهشته‌های تراورتنی ناشی از آن را فراهم کرده است (امیدیان، ۱۳۸۶). بر اساس اطلاعات نقشه زمین‌شناسی، گسل‌های ساختاری ایرا و نوا با روند ESE و دارا بودن مکانیسم معکوس در شرق آتشفشنان دماوند، جزء سیستم تکتونیکی البرز مرکزی محسوب می‌شوند. ادامه روند این گسل‌ها به سمت غرب، با افزایش شاخه‌های فرعی فعالی همراه است و با تغییر جهت بارز به زیرگدازه‌های دماوند در منطقه آب اسک محو می‌شوند (اسکوبی و امیدیان، ۱۳۹۳).

حاکی از کوهزایی فعال این ناحیه است. بی‌سنگ رسوی حاشیه غیرفعال پالئوزویک-مزوزویک این منطقه همراه با تظاهرات رسوی-آتشفشنی سنووزویک به دلیل این کوهزایی فعال که ناشی از فشارش مداوم صفحه عربستان به صفحه ایران است، از نظر تکتونیکی به شدت متحول شده است. چرخش راستگرد بلوك خزر در  $5 \pm 2$  میلیون سال پیش منجر به تغییر روند گسلش فشارشی راستگرد این ناحیه به چپگرد شده است (Allen et al., 2003). امیدیان (۱۳۸۶) با بررسی‌های پالئوسترس در اطراف آتشفشنان دماوند و تحلیل شواهد متعدد ثبت خش لغزهای گسلی فشارشی دارای مؤلفه امتدادی چپگرد که بر روی خش لغزهای فشاری با مؤلفه امتدادی راستگرد حک شده بودند، روند تنشی این منطقه را همخوان با سیستم تراکشی معرفی کردند. حسن‌زاده و همکاران (2006) و (Hassanzadeh et al., 2006) و



شکل ۳. نقشه زمین‌شناسی خلاصه شده منطقه مورد مطالعه که در آن موقعیت زمین‌شناسی تراورتن‌ها و چشمه‌های تراورتن‌ساز مشخص شده است (Allenbach and Shteger, 1966)

## بحث

### رخساره‌های رسوبی

سد در اینجا به سدهای سرریز مصنوعی اطلاق می‌شود. در سدها، جریان آب مقدار زیادی از قطعات و خرده‌های گیاهان را جمع می‌کند و باعث رشد جلبکها و پوشش آهکی می‌شوند و این خود باعث گسترش تراورتن‌زایی و بزرگ شدن سدها می‌شود. از انواع سدها می‌توان به سدهای کوچک<sup>۱</sup> در منطقه مورد مطالعه اشاره کرد (شکل ۴-ث) که دارای مقیاس کوچک هستند و اغلب در تراورتن‌های گرم‌زاد دیده می‌شوند (Geurts et al., 1992). تعدادی از تراورتن‌های منطقه مورد مطالعه نیز به شکل آبشاری و به دو صورت فعال و غیرفعال دیده می‌شوند (شکل ۴-ج و چ). این نوع از تراورتن‌ها بر روی سراشیمی‌های تند در اثر افت سرعت جریان و فشار آب به وجود آمداند. بعضی از آن‌ها در فواصل متغیری از منشأ آب توسعه پیدا کردند و حالت توده‌ای دارند. در منطقه مورد مطالعه این رسوبات بر اساس طبقه‌بندی پنتکاست (Pentecost, 2005b) از نوع رسوبات فرسایشی<sup>۲</sup> هستند. مورفولوژی این نوع از آبشارها تا حد بسیار زیادی به وسیله مسیر سیالاب آب کنترل شده است و بر روی دیوارهای قائم گسترش یافته‌اند (شکل ۴-ج و چ).

دامنه دور از منشأ<sup>۳</sup>: در نهایت انتقال تدریجی به رخساره دامنه دور از منشأ، جایی که تراورتن‌های لامینه‌ای رخنمون دارند صورت می‌گیرد (شکل ۴-خ). این رخساره از کلسیت بلوكی تشکیل شده است (شکل ۴-خ).

در ادامه، به بررسی رخساره‌های شناسایی شده در تراورتن‌های آب اسک در دو گروه رخساره‌های غیرزیستی<sup>۴</sup> و رخساره‌های زیستی<sup>۵</sup> پرداخته خواهد شد (جدول ۲).

تراورتن‌ها نقریباً شامل دو گونه اصلی کربنات کلسیم، آرگونیت و کلسیت هستند. این کانی‌ها اطلاعاتی را در مورد محیط‌های گذشته ارائه می‌دهند. شرایطی که برآسانس آن این کانی‌ها می‌توانند تشکیل شوند متغیر است و شامل ترکیب شیمیابی منبع آب، درجه حرارت، فعالیت‌های میکروبی (Fouke et al., 2000; Turi, 1986) و فشار، نرخ رسوب‌گذاری، تلاطم و نرخ انتشار دی‌اکسید کربن می‌باشد (Lippmann, 1973; Kitano, 1962). در منطقه مورد مطالعه و با فاصله گرفتن از دهانه چشمه‌ها، پنج رخساره تراورتنی بر اساس شکل و ترکیب کانی‌شناسی تشخیص داده شده است:

دهانه: این رخساره از بلورهای سوزنی کلسیت با اندازه کمتر از ۱۰۰ میکرومتر تشکیل شده است (شکل ۴-الف). کanalی<sup>۶</sup>: این رخساره از بلورهای سوزنی کلسیت تشکیل شده است و به صورت افقی در کانال‌های رودخانه‌ای گسترش پیدا کرده و یک شکل پلکانی به نام تختانک<sup>۷</sup> یا تراس‌های پلکانی شکل را تشکیل داده است (شکل ۴-ب).

دامنه نزدیک به منشأ<sup>۸</sup>: در امتداد این رخساره حوضچه‌ها (شکل ۴-پ)، تراورتن‌های سدی (شکل ۴-ت و چ) و تراورتن‌های آبشاری<sup>۹</sup> بر روی سراشیبی‌های تند تشکیل شده است (شکل ۴-ج و چ). از نظر ترکیب کانی‌شناسی این رخساره از بلورهای کلسیت ستونی یا رشتہ‌ای تشکیل شده است (شکل ۴-ح). این عقیده وجود دارد که اسپارستونی تا حد بسیار زیادی مربوط به اوایل دیازنزو نئومورفیسم هستند (Braithwaite, 1979; Love and Chafetz, 1988; Braithwaite, 1999). رخساره حوضچه‌ای<sup>۱۰</sup> ناشی از افت شدید در جریان آب چشمه‌های (شکل ۴-پ) و به دلیل پایین بودن درجه حرارت آب از کلسیت تشکیل شده است. تراورتن‌های سدی<sup>۷</sup> در اطراف یکی از چشمه‌های آب گرم موجود در منطقه به نام چشمه بیلاق تشکیل شده‌اند (شکل ۴-ت). این نوع تراورتن‌ها از تراورتن‌های نوع آبشاری به وسیله افزایش موضعی عمودی خود که منجر به تشکیل آبگیر شده است تشخیص داده می‌شوند. اصطلاح

1. Vent

2. Channel

3. Terracette

4. Proximal slope

5. Cascade

6. Pound

7. Dam travertines

8. Mini dam

9. Erosively-shaped

10. Distal slope

11. Abiotic

12. Microbialites



شکل ۴. تصاویری از رخسارهای تراورنی منطقه مورد مطالعه. (الف) رخساره دهانه، (ب) رخساره کانالی، (پ) رخساره حوضچه‌ای، (ت) رخساره سدی، (ث) نمایی از سدهای کوچک در تراورتن‌های مورد مطالعه، (ج و چ) رخساره آبشاری، (ح) تصویر SEM از کلسیت رشته‌ای یا ستونی، (خ) رخساره دامنه دور از منشأ

جدول ۲. رخساره‌های کربناته زیستی و غیرزیستی شناسایی شده در چشممه‌های تراورتن‌ساز آب اسک

قشرهای زیستی	قشرهای بلورین غیرزیستی
بایندستون (استروماتولیت)	بلورهای سوزنی
طبقه‌های میکروبی	بلورهای شعاعی-بادبزنی
	قشر بلورین
	سنگهای اسفنجی

رخساره، شکل بادبزنی و شعاعی، به دلیل قرارگرفتن وجود بلورهای کشیده کلسیت است که با زوایه غیر از  $90^\circ$  درجه نسبت به سنگ بستر قرار دارند.<sup>۴</sup>

### رخساره قشر بلورین<sup>۵</sup>

در این نوع سنگ رخساره، بلورهای کلسیت عمود بر لایه‌های میکرایتی رشد کرده‌اند (شکل ۵-ج و چ). با فاصله گرفتن از دهانه چشمدها این رخساره بیشتر به صورت تناوبی از لایه‌های روشن کلسیت اسپاریتی و لایه‌های تیره رنگ اکسید آهن قابل مشاهده است (شکل ۵-ج و چ).

### سنگ‌های اسفنجی<sup>۶</sup>

برخی از این عوارض در اثر خروج گازهایی که به صورت محلول در آب وجود دارد و یا دارای منشأ ارگانیکی (گیاهان، باکتری‌ها و جلبک‌ها) هستند، به وجود می‌آیند. این اشکال همواره بعد از نهشته‌گی بسته شده و به صورت کره یا آلیت کوچکی در سطح رسوب ظاهر می‌شود و آن‌ها را به عنوان سنگ اسفنجی یا سنگ لانه زنبوری<sup>۷</sup> نامگذاری می‌کنند (شکل ۵-ح).

### رخساره‌های زیستی<sup>۸</sup>

رخساره‌های بلورین زیستی در منطقه مورد مطالعه به صورت بایندستون-استروماتولیت و تجمع میکروبی قابل مشاهده هستند (شکل ۶).

### رخساره بایندستون استروماتولیتی<sup>۹</sup>

این رخساره به صورت تناوبی از پوشش‌های جلبکی و کلیست میکرایتی-اسپاریتی قابل مشاهده است (شکل ۶-الف). رشد جلبک‌های سبز در چشمدهای آب گرم اسک و تشکیل تراوتن بر روی آنها باعث ایجاد نوعی ساخت استروماتولیتی شده است. لامیناسیون‌های میکرایتی

### رخساره‌های غیرزیستی

در منطقه مورد مطالعه، رخساره‌های بلورین غیرزیستی متشكل از بلورهای کلسیت می‌باشد و به صورت بلورهای سوزنی، بادبزنی-شعاعی، قشر بلورین و سنگ‌های اسفنجی قابل مشاهده است (شکل ۵).

### رخساره توفا<sup>۱۰</sup>

در منطقه مورد مطالعه، این رسوبات نرم و سست، با سطوح سبز و به شکل ندولار در کانال‌های رودخانه‌ای دیده می‌شوند، به صورت لایه‌ای نازک بر روی اشیای مختلف تهشین شده‌اند و نهشته‌های عهد حاضر کربنات کلسیم در منطقه محسوب می‌شوند (شکل ۵-الف). مطالعات میکروسکوپی نشان می‌دهد این رسوبات نرم و سست از بلورهای خیلی ریز کربنات کلسیم یا لوبلینیات تشکیل شده‌اند و حاوی حدود ۳۵ تا ۷۵ درصد آب هستند. به هنگام رسوب‌گذاری حالت پلاستیکی دارند، ولی بعد از خشک شدن به صورت پودر در می‌آیند (رحیم‌پور بناب، ۱۳۸۴؛ شکل ۵-ب). پدلي (Pedley, 1987) اشکال یک کلسیت تیغه‌ای با یک ماکل پلکانی<sup>۱۱</sup> که لوبلینیات<sup>۱۲</sup> نامیده می‌شود را از منطقه Caerwys که احتمال دارد در ارتباط با خشکی باشد توصیف کرده است. منشأ بلورهای لوبلینیات به نظر می‌رسد در ارتباط با مراحل انتهایی سیمانی شدن در توفا باشند (Gruszczynski et al., 2004). فولک و همکاران (Folk et al., 1985) گزارش کردند، بلورهای لوبلینیات در طی تبخیر، زمانی که پوشش‌های باکتری‌ای به طور کامل خشک شده باشند تشکیل می‌شوند. تصاویر SEM این رسوبات نشان می‌دهد که فعالیت‌های جلبکی مانند دیاتومه‌ها در نهشته شدن آنها نقش بسزایی داشته است (شکل ۵-پ). این بلورها شاخص محیط متویریک-واذور هستند و در جایی که نرخ اشباع شدگی نسبت به کربنات کلسیم افزایش یافته و جریان آب آشفته است تشکیل می‌شوند (Nelson, 1990; Chafetz et al., 1985).

### بلورهای بادبزنی-شعاعی<sup>۱۳</sup>

در تراوتن‌های مورد مطالعه این بلورها به شکل بادبزنی و شعاعی قابل مشاهده هستند (شکل ۵-ت و ث). در این

1. Tufa

2. Enechelon twinning

3. Lublinit

4. Fan-ray crystals

5. Crystalline crust

6. Foam rocks

7. Honeycomb rock

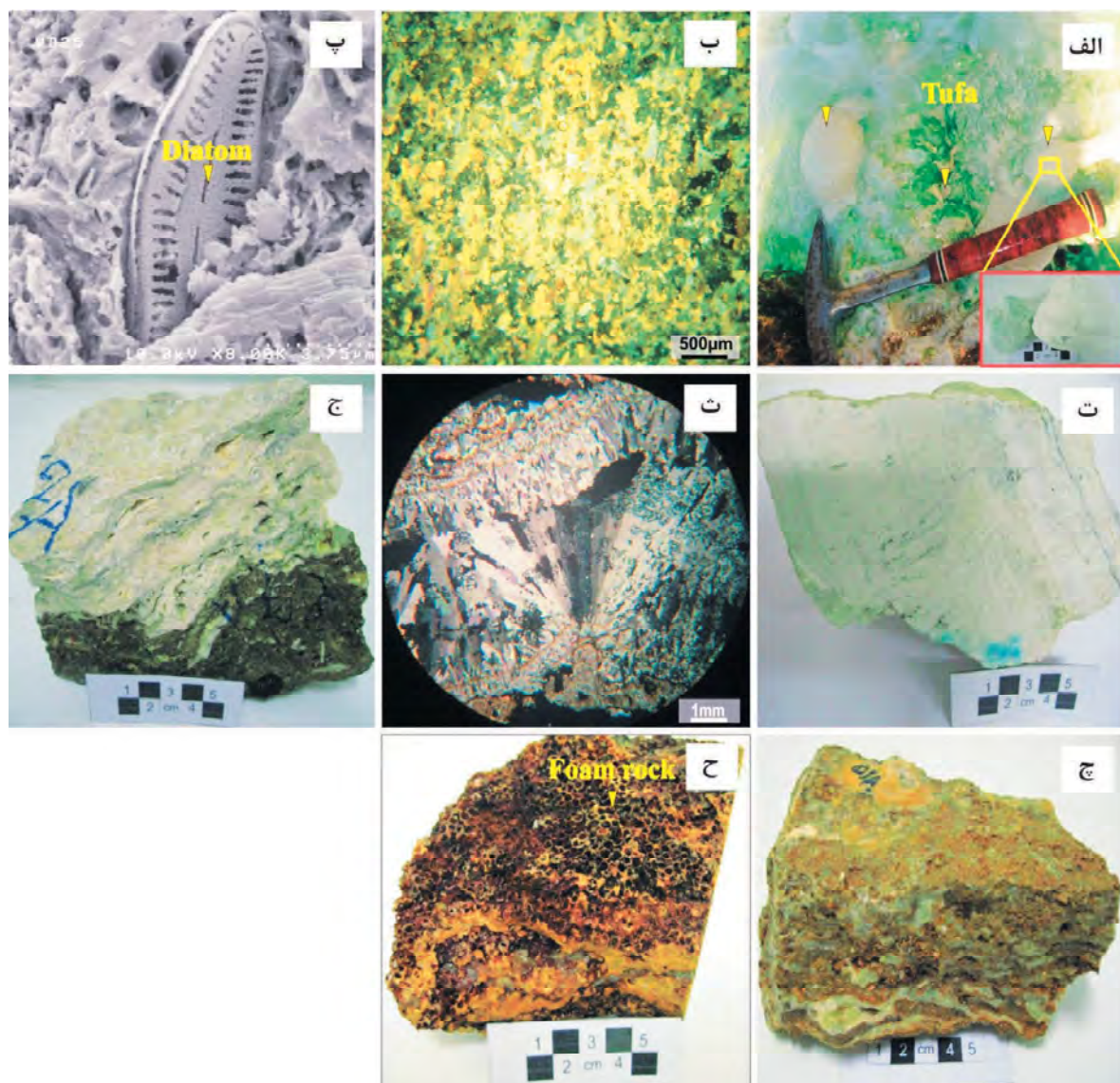
8. Microbialite

9. Stromatolitic bindstone

### رخساره گوینستون پلوئیدی<sup>۲</sup>

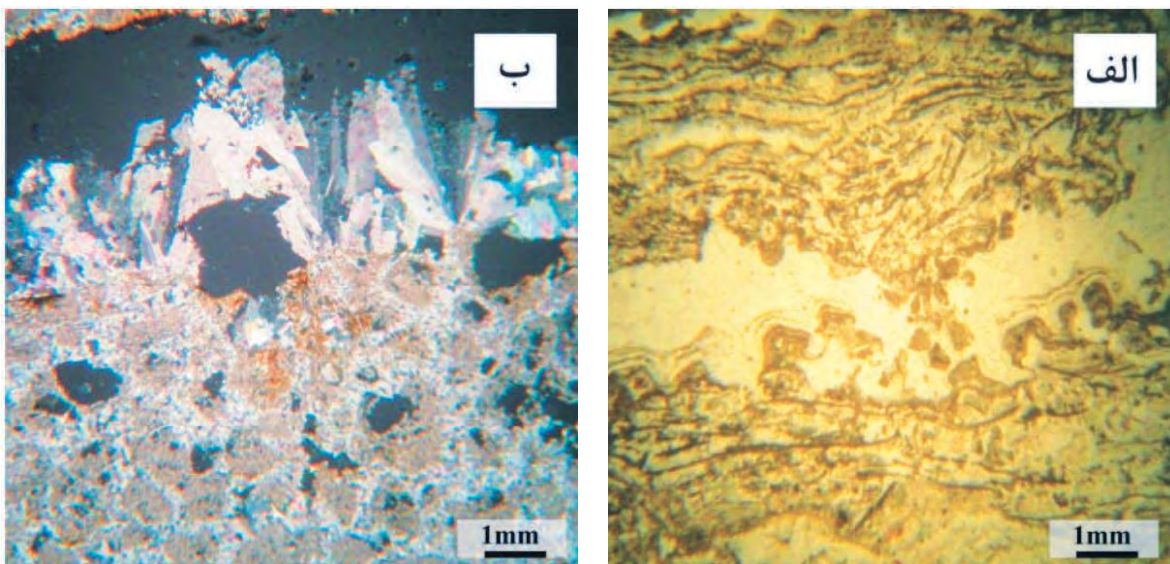
این رخساره در تراورتن‌های مورد مطالعه از پلوئیدها با بافت لخته‌ای تشکیل شده است و به احتمال زیاد دارای منشأ میکروبی هستند (شکل ۶-ب). تجمعاتی از پلوئیدها با ساختار لخته‌ای<sup>۳</sup> در طیف گسترده‌ای از انواع تراورتن‌ها بهویژه آنهایی که در ارتباط با کلونی باکتری‌ها و سیانوباکتری‌ها هستند گزارش شده است (Mohanty and Das, 1997).

بیشتر در این تراورتن‌های جلبکی، جایی که بیشتر در رابطه با رشد فصلی جلبک‌ها می‌پاشند، آشکار هستند. میکرایت‌ها در اطراف و شاید در کلونی باکتری‌ها و در اطراف جلبک‌ها و اساساً سیانوباکتری‌ها تنهشین می‌شوند (Monty, 1996; Freytet and Plet, 1976). برخی از این جلبک‌ها با بافت کلوفورم<sup>۱</sup> در مقاطع میکروسکوپی دیده می‌شوند (شکل ۶-الف).



شکل ۵. الف و ب) توفا در مقیاس صحرایی و در مقطع میکروسکوپی که در آن بلورهای ریز کربنات کلسیم یا لوبلیتات نشان داده شده است (نور پلاریزه)، پ) تصویر SEM از توفا، ت و ث) بلورهای بادیزی-شعاعی در مقیاس صحرایی و میکروسکوپی (نور پلاریزه)، ج و چ) سنگ‌رخساره قشرهای بلورین در تراورتن‌های مورد مطالعه، ج) پوششی از حباب‌های گازی در سطح تراورتن‌های لامینه‌ای که بر اثر خروج گاز به وجود آمده است

1. Colloform
2. Peloidal grainstone
3. Clotted structure



شکل ۶. (الف) رخساره بایندستون (استروماتولیت) (نور پلاریزه)، (ب) پلوئیدها در مقاطع میکروسکوپی تراورتن‌های لامینه‌ای (نور پلاریزه)

آبی هستند (Chafetz and Meredith, 1983). وجود رشته‌های جلبکی در مقاطع نازک و تصاویر میکروسکوپ الکترونی روبشی نشان می‌دهد، فعالیت‌های بیولوژیکی مانند جلبک‌های سبز-آبی در تشکیل این تراورتن‌ها نقش قابل توجهی داشته‌اند.

### تحلیل هیدروژئوشیمیایی

آنالیز فیزیکوشیمیایی آب زیرزمینی می‌تواند اطلاعات ارزشمندی در مورد فاصله طی شده توسط آب‌های زیرزمینی از منطقه تغذیه تا محل برداشت و همچنین مدت زمان تماس آن با کانی‌های انحلال‌پذیر را در اختیار قرار دهد (Domenico and Schwartz, 1990). عوامل مختلفی می‌توانند ترکیب شیمیایی آب را کنترل کنند. برخی از مهم‌ترین آنها شامل برهمکنش آب با سازنده‌ای زمین‌شناسی در مسیر حرکت، تبادلات یونی، واکنش‌های ژئوشیمیایی و همین طور آبودگی‌های انسانی است (Amiri et al., 2021b, 2021c).

در این مطالعه، از نتایج آنالیز فیزیکوشیمیایی برای تحلیل رفتار هیدرودینامیکی چشممه‌های مورد مطالعه (جدول ۴؛ شکل ۸) استفاده شده است. بهمنظور تعیین اعتبار نتایج آنالیز شیمیایی آب، درصد خطای بیلان بار<sup>۲</sup> که به صورت

### تعیین سنگرخساره تراورتن‌ها با استفاده از ایزوتوب‌های پایدار

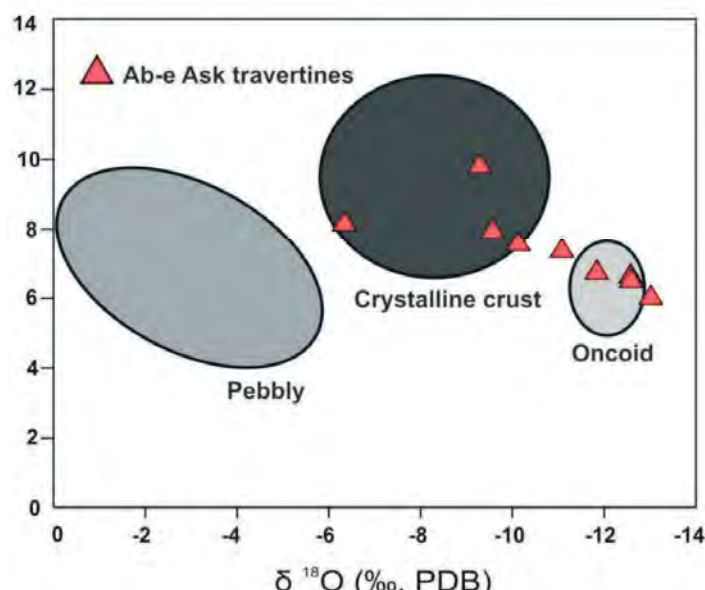
به منظور تعیین سنگرخساره تراورتن‌های آب اسک آنالیزهای  $\delta^{13}\text{C}$  و  $\delta^{18}\text{O}$  بروی آنها انجام شده است (جدول ۳). تراورتن‌های منطقه مورد مطالعه، دارای مقادیر  $\delta^{13}\text{C}$  در حدود  $+6\text{ ‰}$  تا  $+9\text{ ‰}$  پرمیل و مقدار  $\delta^{18}\text{O}$  در گسترمهای VPDB می‌باشند. نمونه‌های مورد مطالعه از نظر مقدار  $\delta^{13}\text{C}$  غنی‌شدنگی قابل توجهی نشان می‌دهند. این غنی‌شدنگی به کربنات‌زدایی سنگ آهک، فعالیت‌های جلبکی و گاز زدایی سریع چشممه‌های آب گرم نسبت داده شده است (Rahmani Javanmard et al., 2012). ایزوتوب‌های اکسیژن نسبت به ایزوتوب‌های کربن بیشتر تحت تأثیر دیاژنز قرار می‌گیرند و تفسیر آنها نسبت به ایزوتوب کربن از صحت کمتری برخوردار است (Pentecost, 2005b). بنابراین، انواع تغیریق دی‌اکسید کربن بهتر از ایزوتوب‌های اکسیژن شناخته شده است و این امر ناشی از تبادل اکسیژن کربنات‌ها با اکسیژن مولکول‌های آب است (Pentecost, 2005b). در نمودار مقادیر ایزوتوبی اکسیژن و کربن، نمونه‌های آب اسک در دو ردۀ قشر بلورین و اُنکویید (پیزولیت) قرار می‌گیرند (شکل ۷). وجود پیزولیتها در نهشته‌های تراورتنی بسیار متداول است و در ارتباط با فعالیت جلبک‌های سبز

1. Scanning electron microscope

2. Charge Balance Error-CBE

جدول ۳. داده‌های ایزوتوپی کربن و اکسیژن تراورتون‌ها در منطقه ژئوترمال آب اسک

شماره نمونه	$\delta^{18}\text{O}$ (VPDB)	$\delta^{13}\text{C}$ (VPDB)	$\delta^{18}\text{O}$ (VSMOW)
SR T1	-12/58	6/61	18/92
SR M 13	-13/02	6	17/43
SR Z 14	-12/59	6/48	17/88
SR A 22	-17/84	6/72	18/65
SR A 12	-11/08	7/35	19/43
SR A 15	-10/13	7/54	20/41
SR A 60	-9/57	7/92	20/99
SR A 9	-9/39	9/79	21/28
SR B 32	-6/24	8/14	24/32



شکل ۷. مقادیر  $\delta^{13}\text{C}$  و  $\delta^{18}\text{O}$  تراورتون‌های آب اسک با توجه به سنگرخساره (Roshanak et al., 2018)

موجود در آب را نشان می‌دهد، یکی از مهم‌ترین اطلاعات مورد نیاز برای محاسبه‌های مربوط به تعادلات ژئوشیمیابی و نرخ حلالیت مواد مختلف است. مقدار pH نمونه‌های آب بین شش تا ۶/۸ تغییر می‌کند و این بیانگر حالت اسیدی‌اندک آب‌های این چشممه‌ها است. از این پارامتر به همراه تغییرات دما، غلظت یون‌های بیکربنات، کلسیم و TDS برای تعیین تمایل آب برای انحلال بیشتر محیط انتقال آب و یا تهشیینی املاح آب استفاده می‌شود. بررسی ضریب اشباع شدگی لانژلیه می‌تواند وضعیت اشباع شدگی آب از نظر میزان کربنات کلسیم و همین طور پتانسیل انحلال بیشتر

فرمول زیر بیان می‌شود را می‌توان برای آنالیزهای هر نمونه آب مورد استفاده قرار داد:

$$CBE = \frac{\sum cations - |\sum anions|}{\sum cations + |\sum anions|} \times 100 \quad (1)$$

که در آن، غلظت کاتیون‌ها و آنیون‌ها بر حسب meq/l می‌باشد. بررسی مقدار CBE برای آنالیز شیمیابی نمونه‌های مورد مطالعه نشان می‌دهد که برخی در دامنه خطای ترجیحی  $\pm 5$  درصدی و برخی نیز با دارا بودن بیشینه خطای قابل قبول  $\pm 10$  می‌توانند برای تحلیل‌ها مورد استفاده قرار گیرند.

pH که قدرت واکنش آب با مواد اسیدی یا قلیابی

1. Langelier Saturation Index(LSI)

جدول ۴. پارامترهای فیزیکوشیمیابی چشمه‌های مورد مطالعه

T	SiO <sub>2</sub>	Fe	Ca	Mg	Na	K	SO <sub>4</sub>	Cl	HCO <sub>3</sub>	EC	pH	نام چشمه‌ها
۲۸	۱۷/۵	۱/۲	۳۷۶/۶	۳۶	۲۲۹/۹	۲۷/۳	۱۰/۸	۴۲۶/۵	۱۲۵۶/۸	۳۱۶۰	۶/۶	نادعلی
۲۵	۱۵	۰/۹۱	۳۲۲/۶	۶۷/۴	۲۲۹/۹	۲۷/۳	۹۸/۹	۴۳۷/۹	۱۱۳۴/۷	۳۰۰۰	۶/۷	زاغ
۳۲	۱۶/۵	۱/۰۴	۳۷۰	۵۱/۶	۲۱۱/۵	۲۹/۳	۹۵/۵	۴۰۰/۷	۱۲۳۸/۵	۳۱۱۰	۶	سرپل
۳۱	۲۶/۷	۰/۵	۶۸۰	۷۳	۲۱۵	۲۸	۱۰۶	۱۱۷	۷۹۳	۲۶۰۰	۶/۸	پشنک
۲۳/۴	-	-	-	-	-	-	-	-	-	۱۳۹۰	۶/۲۸	قل قل
۲۹/۲	-	-	-	-	-	-	-	-	-	۳۶۴۰	۶/۳۸	جب مخابرات
۳۰	-	-	-	-	-	-	-	-	-	-	۶	بیلاق

\* مقدار EC بر حسب  $\mu\text{S}/\text{cm}$ , دما بر حسب درجه سانتیگراد و سایر مؤلفه‌ها بر حسب mg/L است. توجه شود که برخی از اطلاعات پس از رفع خطأ و صحت سنگی از انصاری (Ansari, 2013) برگرفته شده است.



شکل ۸. (الف) زاغ چشمه، (ب) چشمه قل قل (آب اسک)

هستند. این بدان معناست که تیپ شیمیابی این نمونه‌ها بیکربنات کلسیم است. از آنجایی که بیکربنات کلسیم به عنوان تیپ غالب آب زیرزمینی در مناطق تغذیه قلمداد می‌شود، به نظر می‌رسد منابع آب مورد مطالعه دارای چرخه کوتاهی از محل تغذیه تا تخلیه هستند. این بدان معناست که تمایل هیدروژئوشیمیابی آب از بیکربنات به سولفات و در نهایت کلروره مشاهده نمی‌شود. این رخداد می‌تواند با توجه به ساختارهای درز و شکافدار منطقه و نقشی که در ایجاد مسیرهای ترجیحی حرکت آب زیرزمینی داشته باشند، قابل توجیه باشد.<sup>۱</sup>

منبع و منشأیون های موجود در نمونه‌های آب این چشمه‌ها را می‌توان به وسیله تغییر در نسبت Na/(Na+Ca) به عنوان تابعی از کل املاح محلول جامد (TDS) به طور جامع مورد

ترکیبات کربناته و یا پتانسیل تهنشینی آب را نشان دهد (Esmaeili-Vardanjani et al., 2015). محاسبه‌های انجام شده نشان می‌دهد، مقدار LSI برای چشمه‌های پشنک، نادعلی و زاغ به ترتیب برابر ۰/۴۵، ۰/۴۵ و ۰/۵۱ است و این بیانگر فوق اشباع بودن این نمونه‌ها از نظر مقدار کربنات کلسیم هستند. همین موضوع منجر به رسوب‌گذاری قبل توجه در اطراف چشمه‌های مورد نظر شده است (Amiri et al., 2021a). از سوی دیگر، مقدار LSI در نمونه تهیه شده از چشمه سرپل برابر با ۰/۰۲۳ است که این به تحت اشباع<sup>۲</sup> بودن آب از نظر محتويات کربنات کلسیم اشاره دارد. بنابراین به نظر می‌رسد نقش این چشمه در رسوب سنگ‌های تراورتنی در این منطقه کمتر از سایر چشمه‌های مورد نظر است.

بررسی ترکیب شیمیابی منابع آب مورد مطالعه نشان می‌دهد، کلسیم و بیکربنات به ترتیب کاتیون و آنیون غالب

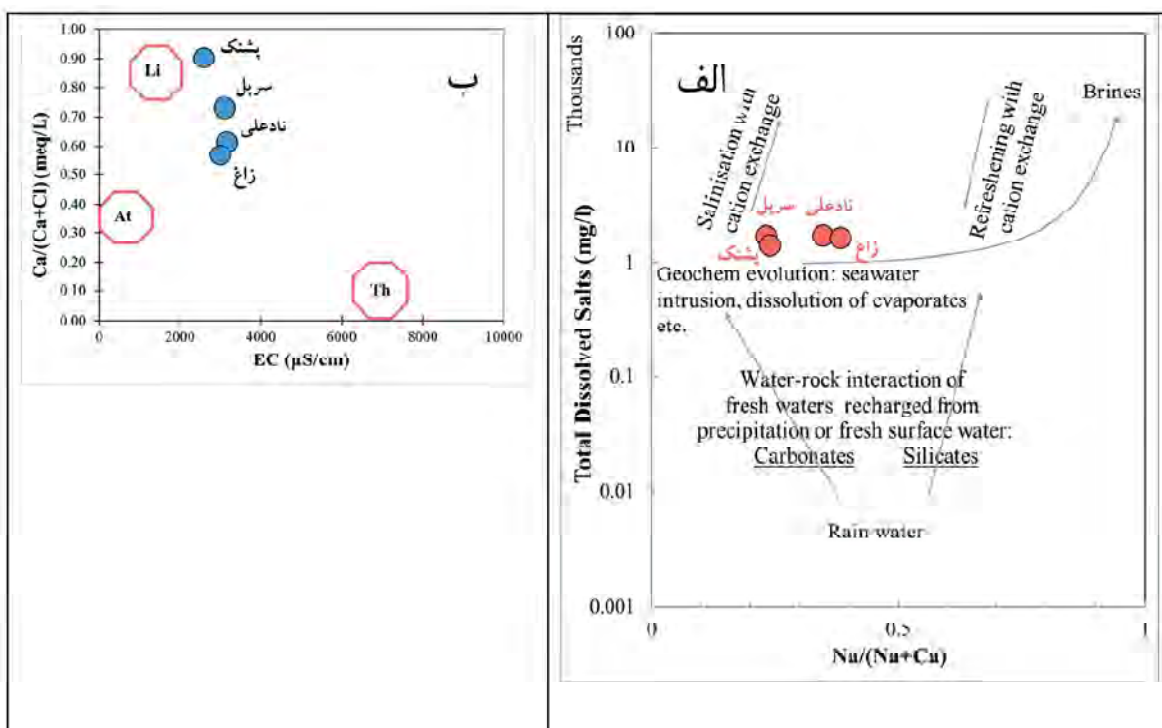
1. Supersaturation

2. Undersaturation

برهمکنش آب با سنگ‌های کربناته و تا حدودی سیلیکاته به عنوان مهم‌ترین منبع تأمین عناصر کلسیم و سدیم در این منطقه شناخته می‌شوند. در این زمینه می‌توان به قرارگیری نمونه‌ها در میانه برهمکنش آب-سنگ (کربناته-سیلیکاته) توجه کرد (شکل ۹-الف).

علاوه بر موقعیت نمونه‌ها بر روی نمودار بهینه شده گیبس، نمودار ون ویردام نیز برای تعیین منشأ ترکیبات شیمیایی موجود در چشممه‌های مورد مطالعه مورداستفاده قرار گرفت (شکل ۹-ب). براساس نمودار ون ویردام، آب زیرزمینی را می‌توان در یکی از موقعیت‌های اتمسفری (آب باران)، لیتولوژیک (آب شیرین غنی از کلسیم) و تالاسوتروپیک<sup>۱</sup> (آب دریا) متصور شد (Tanaskovic et al., 2012). به عبارتی در چرخه هیدرولوژیکی، همه نمونه‌های آبی در گستره یکی از این سه نوع منشأ اصلی قرار می‌گیرند. موقعیت نمونه آب چهار چشممه دارای آنالیز کامل شیمیایی بر روی این نمودار (شکل ۹-ب) نشان می‌دهد، لیتولوژی منطقه دارای نقش قابل توجهی در کنترل ترکیب شیمیایی این چشممه‌ها است.

ارزیابی قرارداد (Gibbs, 1970). لازم به ذکر است که در این مطالعه با توجه به اینکه تیپ شیمیایی نمونه‌های مورد مطالعه، بیکربنات کلسیم است، مقدار TDS به عنوان ضریبی از EC محاسبه شده است. به همین منظور از رابطه  $TDS = \alpha EC$  mg/l،  $\alpha$  بر حسب TDS استفاده شده است که در آن،  $\alpha = 0.54$  درجه سانتیگراد و  $\alpha = 0.96$  در ۲۵ درجه سانتیگراد است. مقدار  $\alpha$  در دامنه ۰/۰۵۴ تا ۰/۰۹۶ تغییر می‌کند. در آب‌های تازه (تیپ بیکربنات کلسیم) این ضریب پایین و هر چه بر املال آب افزوده می‌شود مقدار  $\alpha$  نیز بالاتر می‌رود. بررسی موقعیت نمونه‌های مورد مطالعه بر روی نمودار بهینه شده گیبس (Amiri and Berndtsson, 2020) نشان می‌دهد که این نمونه‌های در مسیر تکامل اندک ژئوشیمیایی و در راستای شور شدن قرار گرفته‌اند (شکل ۹-الف). با توجه به مقادیر EC نزدیک به هم در این نمونه‌ها، این جایگاه و روند تکاملی بیشتر به دلیل تغییر در نسبت Na/(Na+Ca) رخ می‌دهد. جهت مکانیسم‌های غالب کنترل کننده ترکیب شیمیایی این نمونه‌ها نشان می‌دهد،



شکل ۹. الف) موقعیت نمونه‌های مورد مطالعه بر روی نمودار بهینه شده گیبس (Amiri and Berndtsson, 2020)، ب) نمودار ون ویردام (Tanaskovic et al., 2012)

1. Van Wirdum  
2. Thalassotrophic

دو رده آنکوئید و قشرهای بلورین قرار می‌گیرند. نتایج حاصل از مطالعات پتروگرافی و ایزوتوپی نشان می‌دهد، فعالیت‌های بیولوژیکی و باکتریایی مانند جلبک‌های سبز-آبی، دیاتومه‌ها و گاز زدایی سریع چشم‌های آب گرم در تشکیل سنگرخساره تراوerten‌های مورد مطالعه نقش بسزایی داشته‌اند. به منظور ارزیابی کیفی پتانسیل آب چشم‌های مورد مطالعه در تشکیل نهشته‌های کربناته پارامتر ضرب اشباع شدگی لائزله (LSI) محاسبه شد. نتایج حاصل از این اندازه‌گیری نشان داد، بیشترین مقادیر ضرب اشباع شدگی لائزله (LSI) مربوط به چشم‌های پشنک، نادعلی و زاغ هستند و به ترتیب برابر  $0/023$ ،  $0/045$  و  $0/051$  است و این حاکی از فوق اشباع بودن این نمونه‌ها از نظر مقدار کربنات کلسیم هستند. نتایج مطالعه حاضر همچنین نشان داد، کمترین مقادیر ضرب اشباع شدگی لائزله (LSI) مربوط به چشم‌های سرپل و برابر با  $-0/020$  است و این به تحت اشباع بودن آب از نظر محتویات کربنات کلسیم اشاره دارد. بنابراین نقش چشم‌های سرپل در تشکیل نهشته‌های کربناته کمتر از سایر چشم‌های است. نمودار بهینه شده گیبس و نمودار ون ویردام نشان دادند، برهمکنش بین آب با سنگ از عوامل اصلی کنترل کننده شیمی آب در منطقه هستند.

## منابع

- اسکویی، ب. و امیدیان، ص.، ۱۳۹۳. بررسی ساختاری گسل‌های ایرا و نوا در جنوب شرق آتشفسان دماوند با استفاده از روش مغناطیس سنجی. مجله فیزیک زمین و فضا، ۲، ۸۳-۹۶.
- امیدیان، ص.، ۱۳۸۶. تعیین جایگاه زمین‌ساختی آتشفسان دماوند براساس شواهد ساختاری و ژئوشیمیابی. پایان‌نامه کارشناسی ارشد، دانشکده زمین‌شناسی، دانشگاه تهران، ۱۶۷.
- رحمانی جوانمرد، س.، ۱۳۹۰. مطالعه زایش و ژنر تراوerten‌های آب اسک در شرق آتشفسان دماوند با بهره‌گیری از نسبت‌های ایزوتوپی، پتروگرافی و دورسنجی. پایان‌نامه کارشناسی ارشد، دانشکده زمین‌شناسی، دانشگاه تهران، ۱۵۸.
- رحیمپور بناب، حسین.، ۱۳۸۴. سنگ‌شناسی کربناته، ارتباط دیاژنر و تکامل تخلخل. انتشارات دانشگاه تهران، ۴۸۷.

این مورد بیشتر برای چشم‌های پشنک مشاهده می‌شود. از سوی دیگر، سه نمونه دیگر شامل سرپل، نادعلی و زاغ چرخه اندکی متفاوت را نشان می‌دهند. به عبارتی دیگر، این نمونه‌ها بین سه بخش اتمسفری، لیتوژیک و تالاسوتروژیک قرار گرفته و تا حدودی می‌تواند افزایش شوری ناشی از افزایش نرخ آزادسازی و ورود ترکیبات شیمیابی را نشان دهد. این تغییرات به دلیل عدم تعادل بیشتر به دلیل تغییر در توزیع یون‌های کلسیم و کلراید است به ترتیبی که نمونه‌های سرپل، نادعلی و زاغ دارای مقدار کلسیم کمتر ولی کلراید و بیکربنات بیشتری در مقایسه با نمونه تهیه شده از چشم‌های پشنک دارند. یکی در تحلیل این رفتار هیدروشیمیابی آب چشم‌های و یافتن دلیل منطقی برای این تغییر شیمیابی می‌توان از مقدار  $\text{HCO}_3 + \text{SO}_4^{2-}$  استفاده کرد. با توجه به اینکه مجموع غلظت سولفات و بیکربنات بیشتر از پنج میلی اکی والان بر لیتر باشد، علاوه بر انحلال کلسیت و سایر ترکیبات کربناته، برهمکنش آب با سایر تشکیلات را به عنوان منشأ ثانویه سولفات و بیکربنات در نظر گرفت. این مورد علی‌رغم اینکه چندان قابل ملاحظه نیست ولی با توجه به تنوع سازنده‌های رسوبی در منطقه می‌تواند منطقی به نظر برسد.

## نتیجه‌گیری

در دامنه‌های جنوب شرقی آتشفسان دماوند ۸۵ کیلومتری شرق تهران واقع در پهنه البرز مرکزی در منطقه آب اسک، چندین چشم‌های آهک‌ساز وجود دارد. با فاصله گرفتن از مظاهر چشم‌های نهشته‌های ذکر شده را می‌توان از دید رخساره به انواع تراوerten‌های نوع اول با مورفولوژی دهانه و کانالی، تراوerten‌های نوع دوم با مورفولوژی حوضچه‌ای، سدی و آبشاری و تراوerten‌های نوع سوم یا لامینه‌ای تفکیک کرد. بررسی‌های میکروسکوپی، وجود چهار رخساره غیرزیستی شامل توفا، بلورهای بادیزبزی-شعاعی، رخساره قشر بلورین و سنگ‌های اسفنجی و همچنین تعداد دو رخساره زیستی شامل رخساره بایندستون استروماتولیتی و گرینستون پلوثیدی را در تراوerten‌های آب اسک نشان می‌دهد. براساس مقادیر ایزوتوپ‌های پایدار کربن و اکسیژن، این تراوerten‌ها از دید سنگرخساره در

- Allen, M., Ghassemi, M.R., Shahrabi, M. and Qorashi, M., 2003. Accommodation of late Cenozoic oblique shortening in the Alborz range, northern Iran. *Journal of Structural Geology*, 25, 659–672.
- Allenbach, P. and Shteiger, R., 1966. Geological map of Damavand, scale 1:100 000, 1 sheet. Tehran, Iran: Geological Survey of Iran.
- Amiri, V. and Berndtsson, R., 2020. Fluoride occurrence and human health risk from groundwater use at the west coast of Urmia Lake, Iran. *Arabian Journal of Geosciences*, 13, 921.
- Amiri, V., Bhattacharya, P. and Nakhaei, M., 2021a. The hydrogeochemical evaluation of groundwater resources and their suitability for agricultural and industrial uses in an arid area of Iran. *Groundwater for Sustainable Development*, 12, 100527.
- Amiri, V., Li, P., Bhattacharya, P. and Nakhaei, M., 2021b. Mercury pollution in the coastal Urmia aquifer in northwestern Iran: potential sources, mobility, and toxicity. *Environmental Science and Pollution Research*, 28, 17546–17562.
- Amiri, V., Nakhaei, M., Lak, R. and Li, P., 2021c. An integrated statistical-graphical approach for the appraisal of the natural background levels of some major ions and potentially toxic elements in the groundwater of Urmia aquifer, Iran. *Environmental Earth Sciences*, 80, 1–17.
- Ansari, M.R., 2013. Hydrochemistry of the Damavand Thermal springs, North of Iran. *Life Science Journal*, 10(7s), 866–873.
- Braithwaite, C., 1979. Crystal textures of recent fluvial pisolithes and laminated crystalline crusts in Dyfed, South Wales. *Journal Sedimentary Petrology*, 49, 181–194.
- Chafetz, H.S., Wilkinson, B.H. and Love, K.M., 1985. Morphology and composition of nonmarine carbonate cements in near-surface settings: In: Schneidermann, N., and Harris, P.M., eds., Carbonate cements, Society of Economic Paleontologists and Mineralogists, 36, 337–347.
- Chafetz H.S. and Folk, R.L., 1984. Travertines: depositional morphology and the bacterially constructed constituents. *Journal of Sedimentary Petrology*, 54, 289–316.
- Chafetz, H.S. and Meredith J.C., 1983. Recent travertine pisolithes (pisoids) from southeastern Idaho, U.S.A. 450–455. In: Peryt TM (ed) Coated Grains. New York, Springer-Verlag, 655.
- Chon, F., 1864. Über die Entstehung des travertine in der Wasserfallen von Tivoli. *Neues Jahrbuch für Mineralogie, Geologie und Palaeontologie Abhandlung*, 40, 580–610.
- Cipriani, N., Ercoli, A., Malesani, P. and Vannucci, S., 1972. I travertini di Rapolano Terme. *Memorie della Società Geologica Italiana*, 11, 31–46.
- Domenico, P.A. and Schwartz, F.W., 1990. Physical and chemical hydrogeology. John Wiley and Sons, New York, 824.
- Esmaeili-Vardanjani, M., Rasa, I., Amiri, V., Yazdi, M. and Pazand, K., 2015. Evaluation of groundwater quality and assessment of scaling potential and corrosiveness of water samples in Kadkan aquifer, Khorasan-e-Razavi Province, Iran. *Environmental monitoring and assessment*, 187, 1–18.
- Folk, R.L., Chafetz, H.S. and Tiezzi, P.A., 1985. Bizarre forms of depositional and diagenetic calcite in hot-spring travertines, central Italy. In Carbonate cements. Edited by N. Schneidermann and P.M. Harris. SEPM (Society of Economic Paleontologists and Mineralogists), Special Publication 36, 349–369.
- Fouke, B.W., Bonheyo G. T., Sanzenbacher B. and Frias-Lopez J., 2003. Partitioning of bacterial communities between travertine depositional facies at Mammoth Hot Springs, Yellowstone National Park, USA. *Canadian Journal Earth Sciences*, 40, 1531–1548.

- Fouke, B.W., Farmer, J.D., Des Marais, D.J., Pratt, L., Sturchio, N.C., Burns, P.C. and Discipulo, M.K., 2001. Reply–Depositional facies and aqueous–solid geochemistry of travertine-depositing hot springs (Angel Terrace, Mammoth Hot Springs, Yellowstone National Park, USA). *Journal of Sedimentary Research*, 71, 497–500.
- Fouke, B.W., Farmer, J.D., Des Marais, D.J., Pratt, L., Sturchio, N.C., Burns, P.C. and Discipulo, M.K., 2000. Depositional facies and aqueous–solid geochemistry of travertine-depositing hot springs (Angel Terrace, Mammoth Hot Springs, Yellowstone National Park, U.S.A.). *Journal of Sedimentary Research*, 70, 565–585.
- Freytet, P. and Plet, A., 1996. Modern freshwater microbial carbonates: The Phormidium stromatolites (Tufa-Travertine) of southeastern Burgundy (Paris basin, France). *Facies*, 34, 219–237.
- Gandin, A. and Capezzuoli, E., 2014. Travertine: distinctive depositional fabrics of carbonates from thermal spring systems. *Sedimentology*, 61, 264–290.
- Gandin, A. and Capezzuoli, E., 2008. Travertine versus calcareous tufa: distinctive petrologic features and related stable isotopes signature. *Italian Journal of Quaternary Sciences*, 21, 125–136.
- Geurts, M.A., Frappier, M. and Tsien, H.H., 1992. Morphogenèse des barrages de travertin de Coal River Springs, Sud-est du territoire du Yukon, *Geographie physique et quaternaire*, 46, 221–232.
- Gibbs, R.J., 1970. Mechanisms controlling world water chemistry. *Journal of Science*, 17, 1088–1090.
- Gonfiantini, R., Panichi, C. and Tongiorgi, E., 1968. Isotopic disequilibrium in travertine deposition. *Earth Planetary Sciences Letter*, 5, 55–58.
- Gruszczynski, M., Kowalski, B.J., Soltyk, R. and Hercman H., 2004. Tectonic origin of the unique Holocene travertine from the Holy Cross Mts.: microbially and abiologically mediated calcium carbonate, and manganese oxide precipitation. *Acta Geologica Polonica*, 54, 61–76.
- Guo, L. and Riding, R., 1998. Hot-spring travertine facies and sequences Late Pleistocene, Rapolano Terme, Italy. *Sedimentology*, 45, 163–180.
- Hassanzadeh, J., Omidian, S. and Davidson, J., 2006. A late Pliocene tectonic switch from transpression to transtension in the Haraz sector of central Alborz: implications for the origin of Damavand volcano. *Philadelphia Annual Meeting, Geological Society of America*, 171–28.
- Inskeep, W.P. and McDermott, T.R., 2005. Geomicrobiology of acid-sulfate-chloride springs in Yellowstone National Park. In: *Geothermal Biology and Geochemistry in Yellowstone National Park* (Eds W.P.Inskeep and T.R.McDermott), 143–162. Montana State University Publications, Bozeman.
- Janssen, A., Swennen, R., Podoor, N. and Keppens, E., 1999. Biological and diagenetic influence in recent and fossil tufa deposits from Belgium. *Sedimentary Geology*, 126, 75–95.
- Jones, B. and Renaut ,R.W., 2010. Calcareous spring deposits in continental settings. In: *Continental Settings: Facies, Environments and Processes*. (Eds A.M. AlonsoZarza and L.H. Tanner), Elsevier, Amsterdam. 177–224.
- Kele, S., Demeny, A., Siklosy, Z., Nemeth, T., Maria, T. and Kovacs M.B., 2008. Chemical and stable isotope compositions of recent hot-water travertines and associated thermal waters, from Egerszalók, Hungary: depositional facies and non-equilibrium fractionations. *Sedimentary Geology*, 211, 53–72.
- Kitano, Y., 1962. A study of the polymorphic formation of calcium carbonate in thermal springs with an emphasis on the effect of tempera-

- ture. *Bulletin of the Chemical Society of Japan*, 35, 1980-1985.
- Lippmann, F., 1973. Sedimentary carbonate minerals. Springer-Verlag, Heidelberg-New York, 228.
  - Love, K.M. and Chafetz, H.S., 1988. Diagenesis of laminated travertine crusts, Arbuckle Mountains, Oklahoma. *Journal of Sedimentary Research*, 58, 441-445.
  - Mohanty, M. and Das, S., 1997. Microbial signatures in lacustrine and fluvial carbonates; In: Gondwana (Permian) and Holocene examples India. *Facies*, 36, 234-238.
  - Monty, C.L.V., 1976. The origin and development of cryptalgal fabrics. In: Walter, M.R. (Ed.), *Stromatolites. Developments in Sedimentology*, 20, 193-249. Elsevier, Amsterdam.
  - Nelson J., 1990. Experimental investigation of control on cementation on carbonates. *Journal of the Geological Society (London)*, 147, 949-958.
  - Özkul, M., Varol, B. and Alçıçek, M. C., 2002. Depositional environments and petrography of Denizli travertines. *Bulletin of the Mineral Research and Exploration*, 125, 13-29.
  - Pedley, H.M., 1987. The Flandrian (Quaternary) Caerwys tufa, North Wales: an ancient barrage tufa deposit. *Proceedings of the Yorkshire Geological Society*, 46, 141-152.
  - Pentecost, A., 2005b. Travertine. Berlin, Heidelberg: Springer-Verlag, 446
  - Pentecost, A., 1995a. The microbial ecology of some Italian hot-spring travertines. *Microbiologia*, 81, 45-58.
  - Pentecost, A., 1995b. Significance of the biomineralizing microniche in a lyngbya (cyano)bacterium) travertine. *Geomicrobiology Journal*, 13, 213-222.
  - Pentecost, A. and Viles, H., 1994. A review and reassessment of travertine classification. *Geographie physique et Quaternaire*, 48, 305-314.
  - Rahmani Javanmard, S., Tutti, F., Omidian, S. and Ranjbaran, M., 2012. Mineralogy and stable isotope geochemistry of the Ab Ask travertines in Damavand geothermal field, Northeast Tehran, Iran. *Central European Geology*, 55, 187-212.
  - Ranjbaran, M., Rahmani Javanmard, S. and Sotohian, F., 2019. Petrography and Geochemistry of Quaternary travertines in the Ab-Ask region, Mazandaran Province-Iran. *Geopersia*, 9, 351-365.
  - Roshanak, R., Zarasvandi, A.R., Pourkaseb, H. and Moore, F., 2018. Investigations on Northern Urmia-Dokhtar travertines and comparison with north Sanandaj-Sirjan travertines using  $^{18}\text{O}$  and  $^{13}\text{C}$  stable isotopes. *Geosciences Journal*, 27, 143-152 (in Persian with English abstract).
  - Sanders, J.E. and Friedman, G.M., 1967. Origin and occurrence of limestones. In: Chillingar, G.V., Bissel, H.J. and Fairbridge, R.W., (Eds), *Carbonate Rocks*, 169-265.
  - Tanaskovic, I., Golobocanin, D. and Miljevic, N., 2012. Multivariate statistical analysis of hydrochemical and radiological data of Serbian spa waters. *Journal of Geochemical Exploration*, 112, 226-234.
  - Turi, B., 1986. Stable isotope geochemistry of travertines, in: Fritz, P., Fontes, J.Ch. (Eds.), *Handbook of Environmental Isotope Geochemistry*, 2. Elsevier, Amsterdam, 207-238.